

تباين تصرف المنقاطات بتأثير درجة الحرارة

أحمد بن إبراهيم العمود

قسم الهندسة الزراعية، كلية الزراعة، جامعة الملك سعود،
الرياض، المملكة العربية السعودية

ملخص البحث. تصنف أنابيب المنقاطات غالباً من البلاستيك اللدن (البولي إيثيلين)، وتتعدد على سطح التربة. ونظراً لدرجات الحرارة المرتفعة خلال الصيف في المملكة العربية السعودية فإن أنابيب التقطيط والمنقاطات تتعرض كمية كبيرة من الحرارة. وتأثير هذه العملية على كل من التركيب الهنديسي للمنقاطات ودرجة حرارة الماء المتدايق عبر أنابيب التقطيط والمنقاطات ولزوجتها مما يتبع عنه تغير في الخصائص الهيدروليكية للمنقاطات. في هذا البحث تمت دراسة التغير في تصرف المنقاطات الناتج عن ارتفاع درجة الحرارة. استخدم في البحث عدد من المنقاطات تمثل الأنواع الشائعة منها، مثل منقاطات المسار الطويل، ومنقاطات الفوهة، ومنقاطات الضغط المعادل. عرضت المنقاطات لمياه عند درجات حرارة مختلفة تتراوح ما بين 20°C و 80°C . وكررت هذه التجارب عند ضغوط تشغيل متباعدة. أوضحت النتائج أن تصرف جميع أنواع المنقاطات يتاثر بتغير درجة الحرارة، إلا أن الأداء مختلف حسب نوع المنقط.

مقدمة

تعرض معظم المنقاطات في المملكة والمناطق التي لها أجواء مشابهة لحرارة الشمس العالية، مما يزيد درجة حرارة الماء داخل الأنابيب، وبالتالي في المنقاطات. وزيادة الحرارة تسبب تغييراً في تصرف المنقط نتيجة للتغير في لزوجة الماء. كما أن التمدد الناتج عن الحرارة يسبب تغييراً

في أبعاد المنقط ومجري السريان داخل المنقط. وقد أوضحت بعض التجارب السابقة عن تأثير الحرارة على المنقطات وخطوط التقسيط أن التصرف في المنقطات غير المعادلة للضغط يزيد بالانخفاض ثابت تصرف المنقط، إذا كان هذا الثابت أقل من $0,5$ ، وينخفض بزيادة الثابت عندما تكون قيمة أكبر من $0,5$ ، بينما لا يتغير التصرف عندما يكون ثابت تصرف المنقط $[1,0,5]$.

كما وجدت أبحاث أخرى أن هناك زيادة في التصرف قد تصل إلى 35% عندما تتغير درجة حرارة الماء من 20°C إلى 60°C ، وعند زيادة طول الأنابيب فإن الحرارة في المنقطات تزداد على طول الأنابيب مما يسبب تغييرًا في التصرفات يؤدي وبالتالي إلى تقليل انتظامية نظام الري بالتقسيط [٢]. وللمنقطات المعادلة للضغط أوضحت نتائج بعض التجارب أن التصرف في بعض هذه المنقطات قد يكون حساساً للتغيير في درجة الحرارة، بينما لم يلاحظ أي تغير في البعض الآخر [٣].

وقد بينت بعض الأبحاث الأولية أن تصرف جميع منقطات المسار الطويل والمنقطات التي لها ثابت تصرف أكبر من $0,5$ تتأثر بتغيير درجة الحرارة [٤]. وقام آخرون بتطوير برنامج حاسب آلي لمحاكاة تأثير ارتفاع درجة حرارة الماء على تصرف المنقط [٥]، كما أجريت حديثاً اختبارات أخرى لدراسة الخصائص الهيدروليكيّة لبعض المنقطات المستخدمة محلياً [٦].

الهدف من البحث هو دراسة تأثير درجة الحرارة العالية للمياه المتداقة عبر شبكة التقسيط على الخصائص الهيدروليكيّة لأنواع مختلفة من المنقطات المستخدمة محلياً وعند ضغوط متباعدة.

المواد وطرق إجراء البحث

أجرى البحث على تسعه أنواع مختلفة من المنقطات الشائع استخدامها محلياً ذات الموصفات الموضحة في الجدول رقم (١). ولقياس التغير في تصرف المنقطات الناتج عن تباين درجات الحرارة تم تركيب ثلاثة منقطات جديدة ومعايرة ومتباينة (لكل تجربة) التصرف النظري لكل منها $4 \text{ لتر}/\text{ساعة}$.

الجدول رقم (١). خصائص المنفطات المستخدمة في التجارب.

| رمز المنقط | الشركة الصانعة | نوع المنقط | نوع السريان | مدى ضغط | معادل للضغط التشغيل (بار) |
|------------|----------------|----------------------------|-------------|------------|------------------------------|
| نعم | Irridelco | Flapper (ذو قدرة غسلية) | مضطرب | ٢,٧٥ - ٠,٧ | ٢,٧٥ - ٠,٧ |
| لا | Cameron | ذو فوهه | غير محدد | ٢ - ١ | ٢ - ١ |
| لا | RIS | Turbo Key | مضطرب | ١,٤ - ٠,٨٤ | ١,٤ - ٠,٨٤ |
| | | (ذو مسار طويل) | | | |
| نعم | Rain bird | Rain Bug (معادل للضغط) | مضطرب | ٢ - ١ | ٢ - ١ |
| لا | RIS | E2 (ذو مسار دوراني) | طبقي | ١,٤ - ٠,٨٤ | ١,٤ - ٠,٨٤ |
| لا | MAIS | Key Clip | مضطرب | ٢ - ١ | ٢ - ١ |
| | | (ذو مسار طويل) | | | |
| لا | RIS | K2 (ذو مسار متعرج) | مضطرب | ١,٥ - ١ | ١,٥ - ١ |
| لا | Netafim | DBK4 (ذو فوهه) | مضطرب | ١,٥ - ١ | ١,٥ - ١ |
| لا | Pulsar Drop | ذو فوهه | مضطرب | ٢ - ١ | ٢ - ١ |
| | | | | | |

وقد اختير هذا التصرف ، لأنه يمثل أقل المنفطات الشائعة تصريفاً ، بالإضافة إلى أن ابعاده الداخلية وقطر المجرى فيه صغيرة فيتوقع أن يكون تأثير درجة الحرارة على التصرف ملمسياً . وقد ثبتت المنفطات على أنبوب من البلاستيك المرن (بولي إيثيلين) طوله ١,٥ م وقطره ٢٠ مم (القطر الكبير نسبياً لتلافي فقد الاحتكاك) ، يصله الماء من خزان سعته ٢٥٠ لترًا عبر مضخة نابذة قدرتها ٥٦٠ كيلوات (٧٥٠ حصان) ، وثبت بجوار الخزان مؤشر مانومטרי لمعرفة مستوى الماء داخل الخزان .

ويتم الحصول على مياه لها درجات حرارة مختلفة بخلط الماء من شبكة المياه المارة بسخان مع الماء البارد ، وتقياس درجة الحرارة بوساطة مقياس حراري (ترمومتربقي) داخل الخزان وأثناء جمع الماء من المنفطات . وللحصول على ضغط التشغيل المحدد للتجربة وضع مقياس للضغط (مقياس بوردون) وصمام بوابي قبل أنبوب المنفطات ، ويوضح الشكل رقم (١) مكونات التجربة .

لدراسة حساسية معدل التصرف من النقاط لاختلاف درجة حرارة الماء، يمكن استخدام ما يسمى بدليل معدل التصرف [٧، ٨]، ويتم بحساب معدل التصرف عند درجات حرارة مختلفة بالنسبة لدرجة حرارة ثابتة مثل ٢٠ درجة مئوية كالتالي:

$$I_q = q_e(T^\circ C) / q_e(20^\circ C)$$

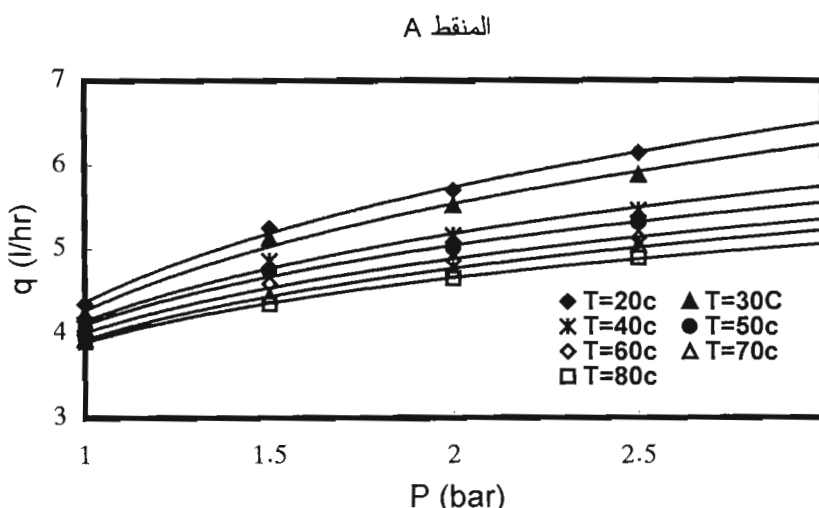
حيث: I_q = دليل معدل التصرف.

$q_e(20^\circ C)$ = تصرف المنقط عند ٢٠ °م.

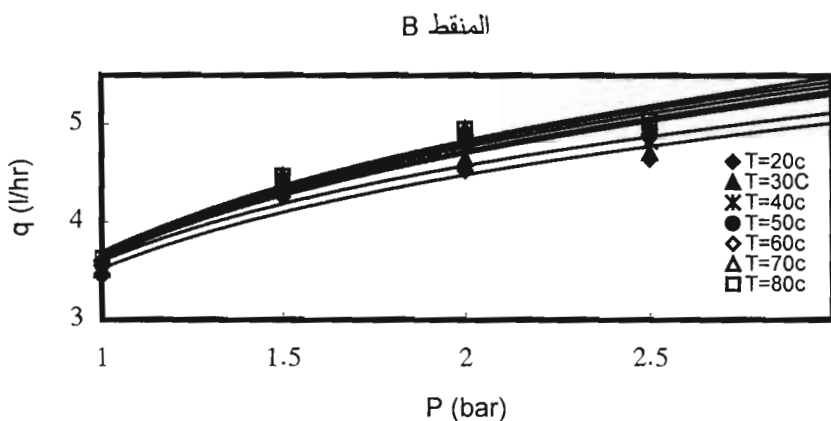
$q_e(T^\circ C)$ = تصرف المنقط عند أي درجة حرارة، T .

النتائج والمناقشة

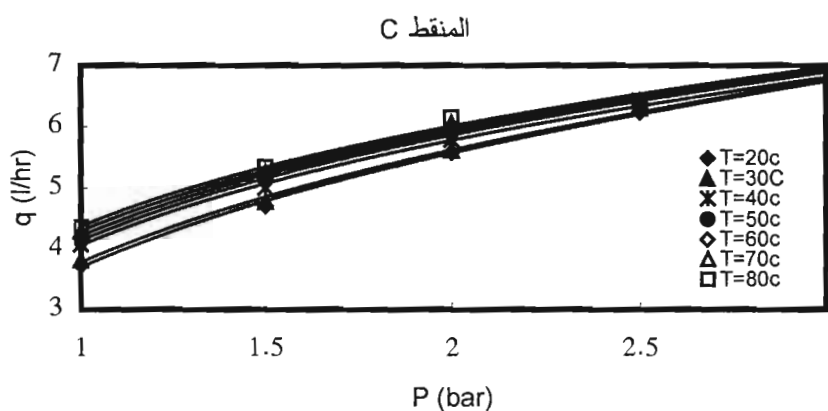
توضح الأشكال من رقم (٢) وحتى رقم (١٠) منحنيات الخصائص الهيدروليكية للمنقطات التسعة المستخدمة في التجارب (A حتى I)، عند درجات حرارة من ٢٠ و حتى ٨٠ °م.



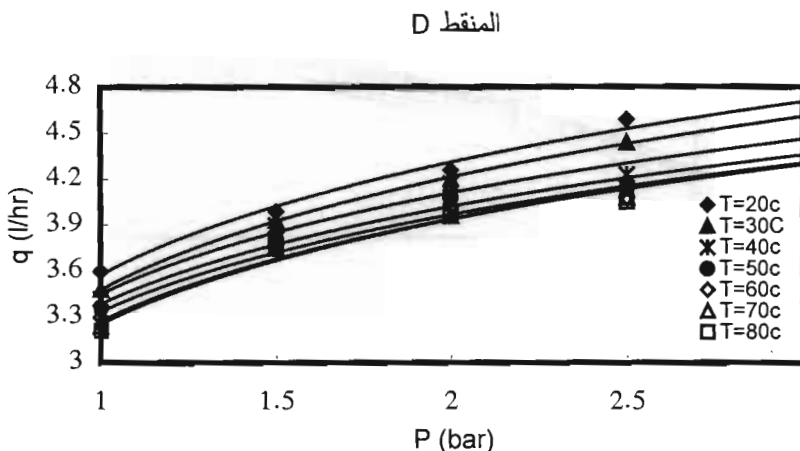
الشكل رقم (٢). علاقة الضغط بالتصرف للمنقط A.



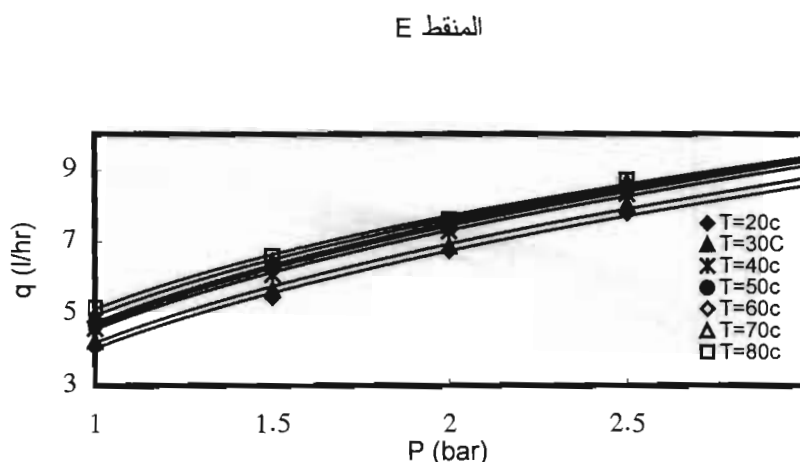
الشكل رقم (٣). علاقة الضغط بالتصريف للمنقط B.



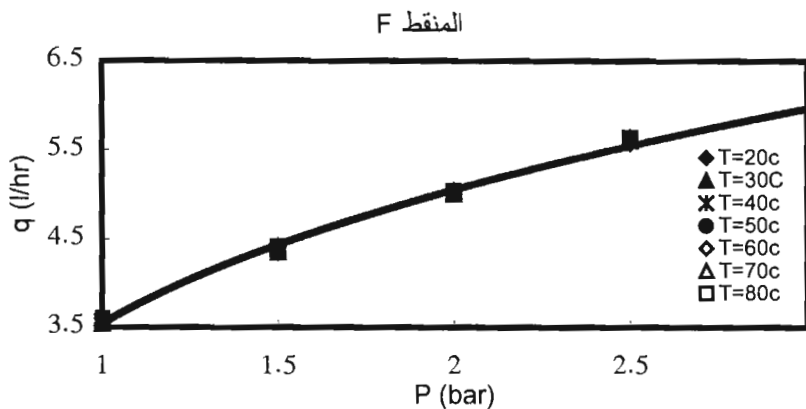
الشكل رقم (٤). علاقة الضغط بالتصريف للمنقط C.



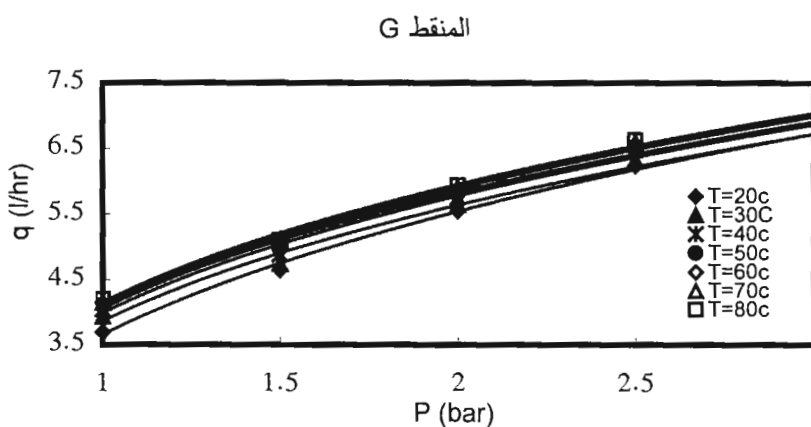
الشكل رقم (٥). علاقة الضغط بالتصريف للمنقط D.



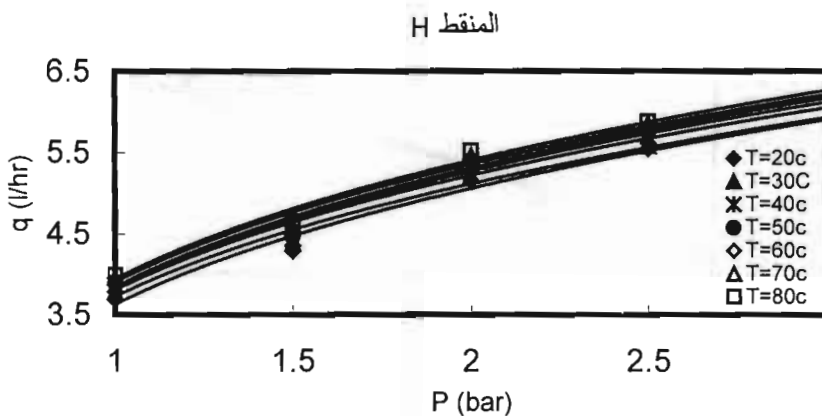
الشكل رقم (٦). علاقة الضغط بالتصريف للمنقط E.



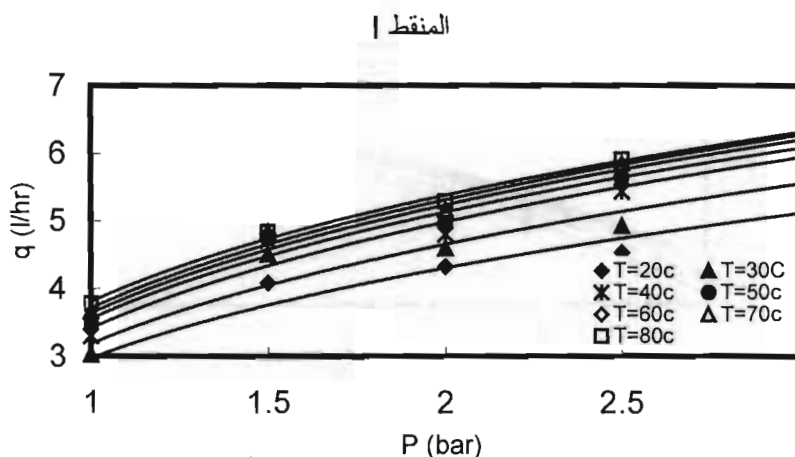
الشكل رقم (٧). علاقة الضغط بالتصريف للمنقط F.



الشكل رقم (٨). علاقة الضغط بالتصريف للمنقط G.



الشكل رقم (٩). علاقة الضغط بالتصريف للمنقط H.



الشكل رقم (١٠). علاقة الضغط بالتصريف للمنقط I.

من المعروف أن العلاقة بين الضغط والتصرف لأداء المنقطات تأخذ شكل معادلة

أسيّة تجريبية :

$$q = b P^\beta$$

حيث : b = ثابت التناسب أو معامل التصرف للمنقط.

β = ثابت التصرف للمنقط.

q = تصرف المنقط ، (لتر/ساعة).

P = الضغط ، (بار).

يمكن استخلاص هذه الثوابت لكل منقط من المنحنيات السابقة ، ويوضح الجدول

رقم (٢) قائمة بهذه الثوابت بالإضافة إلى معامل التلازم (R^2) لكل منحنى.

يظهر من نتائج التجارب أن تأثير ارتفاع حرارة الماء على التصرف يتفاوت للمنقطات

المختلفة ، فهي بصفة عامة تزيد بزيادة درجة الحرارة عدا المنقطين A و D إذ يلاحظ أن هذين المنقطين من النوع المعادل للضغط ، وبعكس معظم المنقطات ينخفض التصرف من هذين المنقطين بزيادة درجة الحرارة ، أما المنقط F وبالرغم من أنه من النوع غير المعادل وله ثابت تصرف متوسط نسبيا ($\beta = ٠,٣٢$) ، فيبدو أن حساسيته لاختلاف درجة الحرارة ضعيفة كما في الشكل رقم (١١).

بناء على المنحنيات الموضحة في الشكل السابق فإن العلاقة بين التصرف ودرجة

الحرارة للمنقطات المختلفة يمكن وصفها بعلاقة خطية توافق مع نتائج وفيسي [٩] لتأخذ الشكل التالي :

$$q = aT + c$$

حيث : T = درجة الحرارة (مئوية).

و c = ثوابت تجريبية.

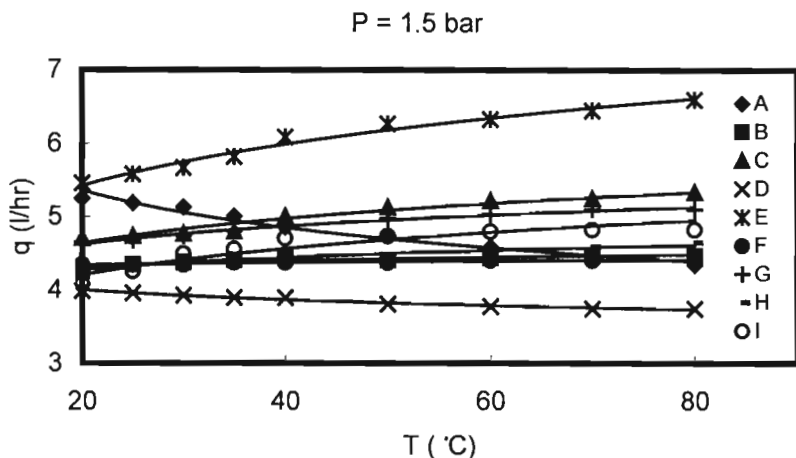
ويوضح الجدول رقم (٣) قيم الثوابت التجريبية للمعادلة السابقة.

الجدول رقم (٢). ثوابت علاقة التضغط بالتصير عند درجات حرارة مختلفة (١).

درويلات الماء (درجات مئوية °)

| Δ_0 | | | γ_0 | | | ϵ_0 | | | ν_0 | | |
|----------------|---------|------|----------------|---------|------|----------------|---------|------|----------------|---------|------|
| R ² | β | b |
| ٠,٩٩٩ | ٠,١٦ | ٣,٩٠ | ٠,٩٩٥ | ٠,١٨ | ٤,٠١ | ٠,٩٩ | ٠,٢٠ | ٤,١٥ | ٠,٩٩٧ | ٠,٢٥ | ٤,٣٧ |
| ٠,٩٧ | ٠,٢٥ | ٣,٦٩ | ٠,٩٦ | ٠,٢٤ | ٣,٦٦ | ٠,٩٣ | ٠,٢٤ | ٣,٦٣ | ٠,٩٥ | ٠,٢٢ | ٣,٥٢ |
| ٠,٩٩١ | ٠,٢٩ | ٤,٣٧ | ٠,٩٩٧ | ٠,٣١ | ٤,٢١ | ٠,٩٩٨ | ٠,٣٣ | ٤,٠٦ | ٠,٩٩٨ | ٠,٣٧ | ٣,٦٩ |
| ٠,٩٦ | ٠,١٧ | ٣,٣٥ | ٠,٩٧ | ٠,١٦ | ٣,٣٤ | ٠,٩٧ | ٠,١٦ | ٣,٤٥ | ٠,٩٩ | ٠,١٧ | ٣,٥٨ |
| ٠,٩٩٧ | ٠,٣٧ | ٥,١٣ | ٠,٩٩٩ | ٠,٤٢ | ٤,٧٥ | ٠,٩٩٩ | ٠,٤٣ | ٤,٥٧ | ٠,٩٩٧ | ٠,٤٧ | ٤,٠٤ |
| ٠,٩٩٦ | ٠,٣٢ | ٣,٥٧ | ٠,٩٩٦ | ٠,٣٢ | ٣,٥٧ | ٠,٩٩٧ | ٠,٣٢ | ٣,٥٤ | ٠,٩٩٧ | ٠,٣٣ | ٣,٥١ |
| ٠,٩٩٣ | ٠,٣٣ | ٤,١٥ | ٠,٩٩٣ | ٠,٣٣ | ٤,٠٩ | ٠,٩٨٨ | ٠,٣٤ | ٣,٩٩ | ٠,٩٩٦ | ٠,٣٨ | ٣,٦٥ |
| ٠,٩٨١ | ٠,٢٩ | ٣,٩٤ | ٠,٩٧٦ | ٠,٣٠ | ٣,٨٤ | ٠,٩٧ | ٠,٢٩ | ٣,٨ | ٠,٩٧٦ | ٠,٣١ | ٣,٦٣ |
| ٠,٩٩٣ | ٠,٣٢ | ٣,٨ | ٠,٩٧ | ٠,٣٣ | ٣,٦٣ | ٠,٩٣ | ٠,٣٤ | ٣,٤١ | ٠,٩٢ | ٠,٣٤ | ٢,٩٧ |

أحمد بن إبراهيم العمود



الشكل رقم (١١). تأثير درجة الحرارة على تصرف الأنواع المختلفة من النقاطات.

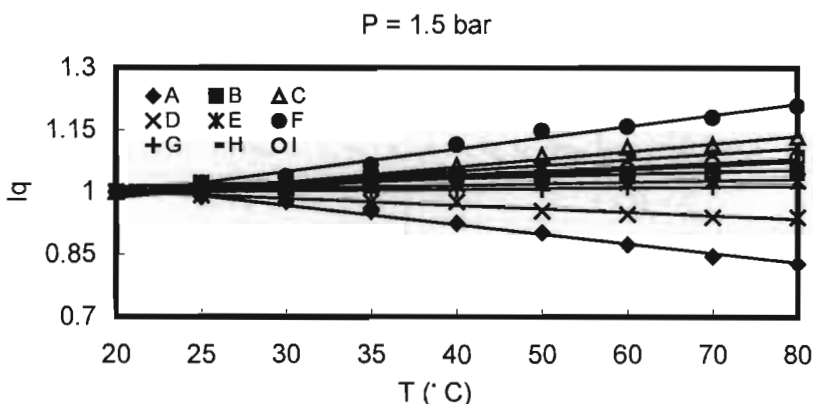
الجدول رقم (٣). ثوابت العلاقات الخطية بين درجة الحرارة T وكل من التصرف q ودليل التصرف I_q .

| R^2 | $I_q = dT + e$ | | $q = aT + c$ | | | رمز النقط |
|--------|----------------|---------|--------------|--------|---------|--------------|
| | e | d | R^2 | c | a | |
| ٠,٩٨٦ | ١,٠٣٦ | ٠,٠٢٣ - | ٠,٩٨٧ | ٥,٥٦ | ٠,٠١٦ - | A |
| ٠,٨٢ | ١,٠٠٨ | ٠,٠٠٥ | ٠,٧١ | ٤,٢٨١ | ٠,٠٠٢٧ | B |
| ٠,٩٥ | ٠,٩٦٧٤ | ٠,٠١٩ | ٠,٩٤ | ٤,٤٧٢٣ | ٠,٠١١٥ | C |
| ٠,٩٦ | ١,٠١ | ٠,٠٠٨ - | ٠,٩٥ | ٤,٦ | ٠,٠٠٤ - | D |
| ٠,٩٥٤٧ | ٠,٩٩٧ | ٠,٠٠٣٨ | ٠,٩٤ | ٥,١٥٦ | ٠,٠١٩ | E |
| ٠,٩٨٤ | ٠,٩٦٨ | ٠,٠٢٧٣ | ٠,٨٧٥ | ٤,٣٢٧ | ٠,٠٠١٢ | F |
| ٠,٩٠ | ٠,٩٩٧ | ٠,٠٠٢١ | ٠,٩٤ | ٤,٥١١ | ٠,٠٠٨٣ | G |
| ٠,٩٧٩ | ٠,٩٨٢ | ٠,٠١٣٨ | ٠,٩٨٨ | ٤,١٩٦ | ٠,٠٥٦ | H |
| ٠,٩٧ | ٠,٩٨٨٥ | ٠,٠١ | ٠,٧٥ | ٤,٠٨ | ٠,٠١١١ | I |

عند تحليل النتائج بناءً على منحنيات دليل التصرف I_q (الشكل رقم ١٢) عند ضغط تشغيل يساوي ١,٥ بار، نلاحظ أن أداء المنشآت عند درجات الحرارة المختلفة يتباين لكل منتظر وبطريقة مشابهة للعلاقة بين التصرف ودرجة الحرارة إذ تنخفض قيم دليل التصرف للمنشآتين A و D عن المتوسط، بينما تزيد قيمة الدليل للمنشآت الأخرى على المتوسط، ويتناول نتائج تأثير درجة الحرارة على دليل التصرف نجد أن العلاقة بين هذين المتغيرين تأخذ شكل المعادلة الخطية التالية :

$$I_q = dT + e$$

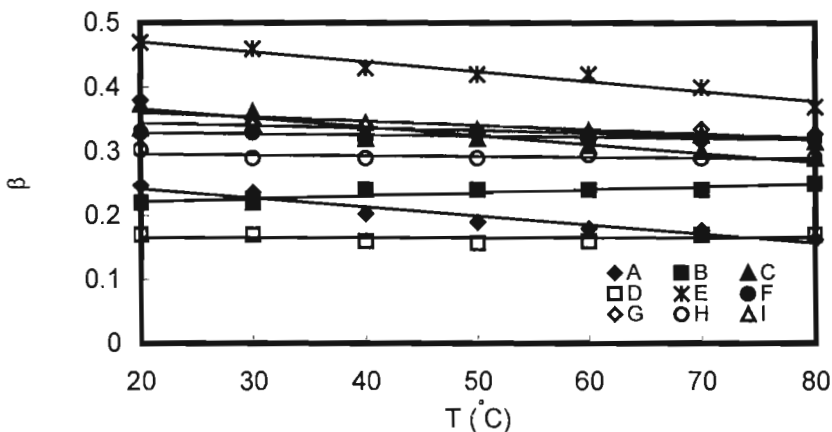
حيث : d و e = ثوابت تجريبية موضحة في الجدول رقم (٣).
 T = درجة الحرارة (درجة مئوية).



الشكل رقم (١٢). أداء دليل المنشآت للأنواع المختلفة من المنشآت عند درجة حرارة مختلفة.

عند تحليل نتائج التجارب لمعرفة تأثير درجة الحرارة على ثابت تصرف المنشآت (β)، نجد أن هذا التأثير يتباين باختلاف نوع المنشآت كما يوضح الشكل رقم (١٣)، فقد لوحظ أن زيادة درجة الحرارة تؤدي بصفة عامة إلى انخفاض ثابت التصرف لمعظم المنشآت (I, H, G, E, C, A)،

إلا أن هذا الانخفاض يتباين من منقطة لأخرى. كما لوحظ، أيضاً، أن ثابت التصرف لم يتغير في المنقطين D و F، بينما تزيد قيمة ثابت التصرف عند زيادة درجة الحرارة للمنقطة B.



الشكل رقم (١٣). تأثير درجة الحرارة على ثابت β المنقط للمنقطات المختلفة.

النواحي العملية لدواعي التصميم، قد يكون من المناسب معرفة كمية الفرق في التصرف نتيجة انخفاض أو زيادة درجة الحرارة أو النسبة المئوية لفرق التصرف، وقد بيّنت الحسابات للمنقطات المختلفة أن هذا الفرق يتباين من ١٠٪ إلى ٢٨٪ من ١٦٠ لتر/ساعة (نسبة مئوية تعادل ٣,٧٤٪) كحد أدنى إلى ٠٠١٢ لتر/ساعة (٠,٢٨٪) كحد أعلى، كما يوضح الجدول رقم (٤)، ولتوسيع ذلك، فعند زيادة درجة الحرارة من ٢٠ و حتى ٧٠٪ فإن النسبة المئوية للتغير في التصرف قد تكون كبيرة وتصل إلى أكثر من ٢٦٪ (للمنقط A)، و ٢٤٪ للمنقط ذي السريان الطبقي (E)، بينما لا تتعدي هذه النسبة ٢٪ (للمنقط F). وعلى الرغم من أن المنقط A من منقطات السريان المضطرب إلا أن أداءه كان ضعيفاً مقارنة بمنقطات السريان المضطرب الأخرى مما يدل على أنه ليس جميع منقطات السريان المضطرب لها أداء ثابت.

الجدول رقم (٤). النسبة المئوية لفرق التصرف بالنسبة لمتوسط التصرف لكل 10°م .

| رمز المنقط | متوسط التصرف | فرق التصرف لكل 10°م | النسبة المئوية لفرق التصرف | $(\Delta q_{10}/q_a)100$ |
|------------|--------------|-------------------------------------|----------------------------|--------------------------|
| A | ٤,٢٨ | ٠,١٦٠ | ٠,١٦٠ | ٣,٧٤ |
| B | ٤,٣٣ | ٠,٠٢٧ | ٠,٠٢٧ | ٠,٦٢ |
| C | ٤,٧٠ | ٠,١١٥ | ٠,١١٥ | ٢,٤٥ |
| D | ٣,٧٢ | ٠,٠٤٣ | ٠,٠٤٣ | ١,١٦ |
| E | ٥,٥٤ | ٠,١٩٠ | ٠,١٩٠ | ٣,٤٣ |
| F | ٤,٣٥ | ٠,٠١٢ | ٠,٠١٢ | ٠,٢٨ |
| G | ٤,٦٨ | ٠,٠٨٣ | ٠,٠٨٣ | ١,٧٧ |
| H | ٤,٣١ | ٠,٠٥٦ | ٠,٠٥٦ | ١,٣٠ |
| I | ٤,٣٠ | ٠,١١١ | ٠,١١١ | ٢,٥٨ |

الخلاصة والتوصيات

نستخلص من نتائج التجارب ما يلي :

- يزيد التصرف لمعظم المنقطات بزيادة درجة الحرارة، يستثنى من ذلك المنقطان A و D، ويلاحظ أن هذين النوعين من المنقطات لهما ثابت منخفض وسريان مضطرب وخاصة المعادلة للضغط.
- يعد المنقط F ذو المسار الطويل والسريان مضطرب أفضل المنقطات أداء عند تغير درجة الحرارة، فالتصرف فيه لا يتغير كثيراً عند زيادة درجة الحرارة.
- على الرغم من أن ثابت المنقط β ذي القيمة المنخفضة يعد دليلاً على جودة الأداء، إلا أن هذا الثابت يتأثر بدرجة الحرارة، يعني أن المنقط الذي له ثابت منخفض قد يكون له أداء ضعيف عند اختلاف درجة الحرارة كما في المنقط A.
- المنقطات التي لها سريان مضطرب تميز بأداء أفضل عند تغير درجة الحرارة مقارنة بمنقطات السريان الطبيعي.

نتائج التجارب تفيد بصفة عامة أنه عند تصميم نظم الري بالتنقيط يجب الأخذ بعين الاعتبار الزيادة أو النقص في التصرف نتيجة ارتفاع درجة الحرارة. وللحكم أو للتقليل من تأثير ارتفاع درجة حرارة الماء على أداء المقطات يمكن استخدام مقطات السريان المضطرب للحصول على أداء أفضل مقارنة بمقطات السريان الطيفي. وبصفة عامة يمكن اتباع النصائح التالية :

- تشغيل النظام في المساء لتفادي تأثير حرارة الشمس.
 - استخدام أنظمة التنقيط تحت السطحية أو تغطية المقطات لحمايتها من الشمس.
 - تقليل فترة التعرض للشمس بتقليل فترة الري باستخدام مقطات لها تصرفات عالية نسبياً
- تناسب تصرفاتها مع نفاذية التربة والاحتياج المائي للمحصول والظروف المناخية.

المراجع

- Decroix, M. and Malval, A. *Laboratory Evaluation of Trickle Irrigation Equipment [١] for Field System Design. Drip /Trickle Irrigation in Action, Proc. 3rd Int. Drip/Trickle Irrigation Congress. 1985.*
- Parchomchuk, P. "Temperature Effects on Emitter Discharge Rates." *Trans. ASAE [٢] (1976),:690-692.*
- Smajstrla, A.; Zazueta, F.; Vellidis, G.; Haman, D. and Selman, G. *Flow Variation [٣] of Trickle Irrigation Emitters, ASAE paper No. 86-2096, (1986), 6.*
- Solomon, K. *Evaluation Criteria for Trickle Irrigation Emission Devices. 7th Int. [٤] Agric. Plastics Congress. San Diago, Ca., 1977.*
- Fialbo, F. and Zazueta, F. *Simulation of Temperature and Discharge Variation [٥] Along a Drip Irrigation Lateral Line Exposed to Solar Radiation. Sixth International Conference on Computers in Agriculture. (1995).*
- Al-Amoud, A. and Abo-Ghobar, H. "Evaluation of Hydraulic Characteristics of [٦] Some Locally Available Emitters." *J. King Saud University. Vol. 6, Agric. Sci. (1) (1994), 15-26.*
- Zur, B. and Tal, S. "Emitter Discharge Sensitivity to Pressure and Temperature." *J. [٧] of Irrig. And Drainage Divn. ASCE, Vol. 107, No. Irl, (1981), 1-9.*
- Solomon, K.H. "Performance Evaluation of Low Volume Irrigation." *Irrigation [٨] Business & Tech. (Dec. 1995), 36-43.*
- Wu, I.P. and Phene, C. "Temperature Effects on Drip Emitters and Lateral Lines." *[٩] ASAE paper No. 84-2628, (1984), 21.*

Flow Variation of Emitters due to Temperature Effect

Ahmed I. Al-Amoud

Dept. of Agr. Engg., College of Agric.

King Saud University, Riyadh, Kingdom of Saudi Arabia

Abstract. Trickle irrigation laterals are usually made of polyethylene plastics and laid on soil surface. Due to the extreme high temperatures during summer in Saudi Arabia, trickle irrigation laterals and emitters absorb high solar radiation. This process affect both geometry of emitters and water temperatures flowing through laterals and emitters which result in change of emitters hydraulic characteristics.

A study is made to investigate the flow variation of emitters as influenced by temperature. A number of emitters of different types (long path, orifice and pressure compensating) were exposed to various levels of water temperatures at practical range of operating pressures.

Results have indicated that, temperature variation have definite effect on emitter flow rates for all tested types, however, flow performance does not seem to follow certain trend with all types, but, constant trends are found to be associated to individual types.